

Pokročilé technologie spalování tuhých paliv

Možnosti zvyšování účinnosti parních kotlů

1

Může zvyšovaní obsahu CO₂ v ovzduší změnit životní podmínky na Zemi?

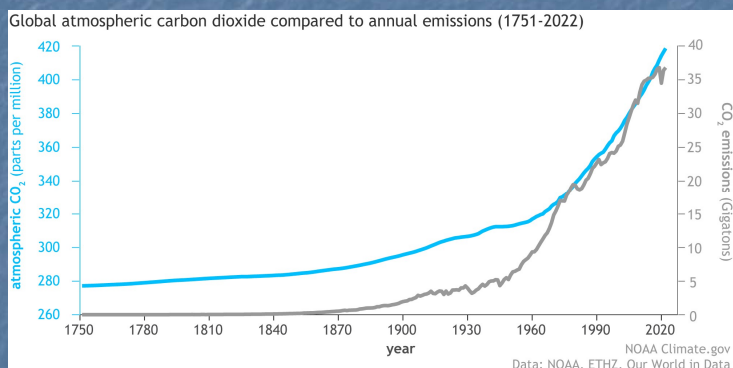
- otázka je komplexní a velmi složitá, nicméně pravděpodobně správná odpověď zní ANO

Lépe by bylo se ptát

- jak lidská činnost přispívá k produkci CO₂ resp. GHE
- jak se projeví dekarbonizační opatření plánovaná EU na celkovém snížení GHE

Může zvyšovaní obsahu CO₂ v ovzduší změnit životní podmínky na Zemi?

- je jisté, že množství CO₂ vypouštěného ze spalovacích procesů do atmosféry roste



- jednoznačné spojení s rostoucí koncentrací CO₂ v atmosféře a oteplováním klimatu je však zjednodušené

Může zvyšovaní obsahu CO₂ v ovzduší změnit životní podmínky na Zemi?

Celková bilance produkce CO₂

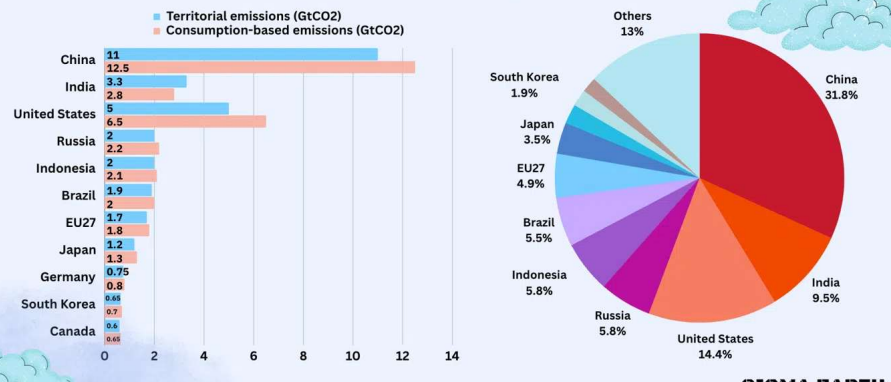
| | |
|------------------|--------|
| ■ oceány | 54,9 % |
| ■ lesy | 41,5 % |
| ■ lidská činnost | 3,6 % |

Podíl na GHE

| | |
|----------------------------|-------|
| ■ vodní pára | 60 % |
| ■ CO ₂ | 20 % |
| ■ metan | 7,2 % |
| ■ další plyny (freony,...) | 5,6 % |

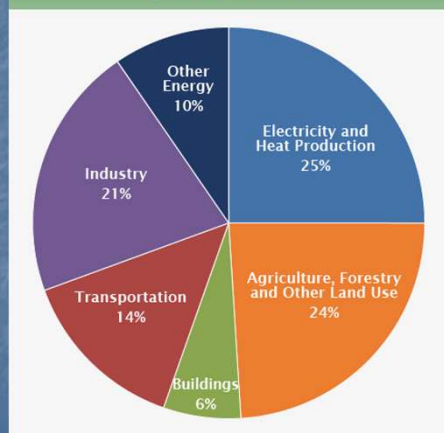
Může zvyšovaní obsahu CO₂ v ovzduší změnit životní podmínky na Zemi?

Country-by-Country Breakdown of Global Carbon Emissions for 2023



Může zvyšovaní obsahu CO₂ v ovzduší změnit životní podmínky na Zemi?

Global Greenhouse Gas Emissions by Economic Sector



Může zvyšovaní obsahu CO₂ v ovzduší změnit životní podmínky na Zemi?

Globální bilance

- celková emise GHC 100 %
- z toho CO₂ z lidské činnosti 16 %
- z toho Kyotský protokol pokrývá 45 % 7,2 %
- z toho emise EU představují 23,75 % 1,71 %
- z toho trh EU ETS pokrývá 50 % emisí 0,86 %
- cíl k roku 2030 je snížení o 55 % 0,47 %

Za jakou cenu?

zdroj: Pravda capital partners AG

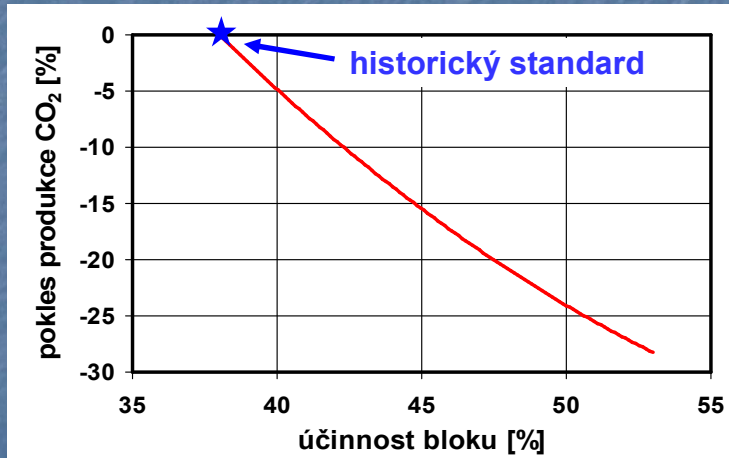
V celosvětovém měřítku uhlí v energetice nekončí

| Stát | počet jednotek | | | instalovaný výkon (MW) | | |
|----------------|----------------|-------------|-----------|------------------------|-------------|-----------|
| | plánováno | ve výstavbě | v provozu | plánováno | ve výstavbě | v provozu |
| China | 212 | 189 | 2955 | 106176 | 99710 | 1004948 |
| India | 43 | 56 | 871 | 29327 | 36698 | 228964 |
| United States | 0 | 0 | 561 | 0 | 0 | 246187 |
| Russia | 9 | 2 | 345 | 4945 | 120 | 46862 |
| Indonesia | 99 | 44 | 171 | 19360 | 11840 | 32373 |
| Poland | 1 | 4 | 166 | 500 | 2470 | 30870 |
| Japan | 5 | 16 | 134 | 2612 | 9269 | 46682 |
| Germany | 1 | 1 | 116 | 920 | 1100 | 44470 |
| Ukraine | 2 | 0 | 107 | 660 | 0 | 22265 |
| South Africa | 7 | 6 | 106 | 6280 | 4770 | 41435 |
| Kazakhstan | 0 | 1 | 91 | 0 | 636 | 12704 |
| South Korea | 0 | 7 | 83 | 0 | 7260 | 37600 |
| Czech Republic | 2 | 1 | 79 | 180 | 660 | 8517 |
| Turkey | 50 | 3 | 75 | 31715 | 1465 | 19514 |
| Vietnam | 51 | 16 | 63 | 22262 | 8680 | 18432 |
| Australia | 4 | 0 | 58 | 2980 | 0 | 24382 |

V celosvětovém měřítku uhlí v energetice nekončí

| | Subcritical | Supercritical | Ultra-super | celkem (MW) |
|-------------|-------------|---------------|-------------|-------------|
| plánováno | 22325 | 64863 | 123374 | 210562 |
| ve výstavbě | 9239 | 72395 | 103069 | 184703 |
| v provozu | 1172623 | 516851 | 304503 | 1993977 |
| celkem | 1204187 | 654109 | 530946 | 2389242 |
| plánováno | 11% | 31% | 59% | 100% |
| ve výstavbě | 5% | 39% | 56% | 100% |
| v provozu | 59% | 26% | 15% | 100% |
| celkem | 50% | 27% | 22% | 100% |

Vliv účinnosti uhelného bloku na produkci CO₂



Účinnost bloku uhelné parní elektrárny

$$\eta_{netto} = \eta_o \cdot \eta_k \cdot \eta_p \cdot \eta_m \cdot \eta_g \cdot \eta_{tr} \cdot \eta_{vs}$$

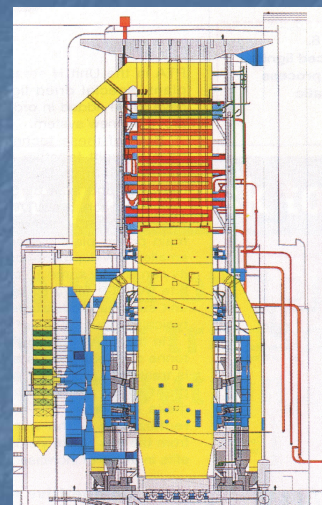
kde je η_o účinnost reálného tepelného oběhu
 η_k účinnost kotle
 η_p účinnost parovodů
 η_m mechanická účinnost turbíny
 η_g účinnost generátoru
 η_{tr} účinnost transformace
 η_{vs} respektování vlastní spotřeby

11

Účinnost kotle

je dána pěti ztrátami :

- ztrátou fyzickým teplem spalin (komínovou),
- ztrátou hořlavinou v TZ
- ztrátou hořlavinou ve spalinách
- ztrátou fyzickým teplem TZ
- ztrátou sdílením tepla do okolí



12

Velikost ztrát závisí :

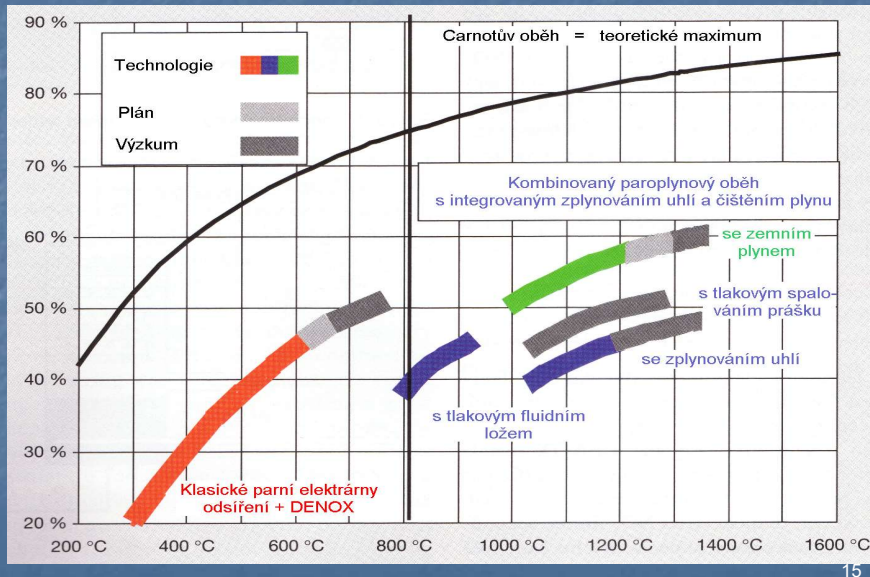
- na konstrukčním řešení spalovacího zařízení
- na konstrukčním řešení kotle
 - na velikosti koncových výhřevných ploch
 - ohříváku vody (EKO)
 - ohříváku vzduchu (OVZ)
 - na podmínkách přestupu tepla
- na vlastnostech uhlí – obsahu vody a popela

13

Vývojové trendy, nové systémy

14

Účinnost technologií na bázi využití uhlí

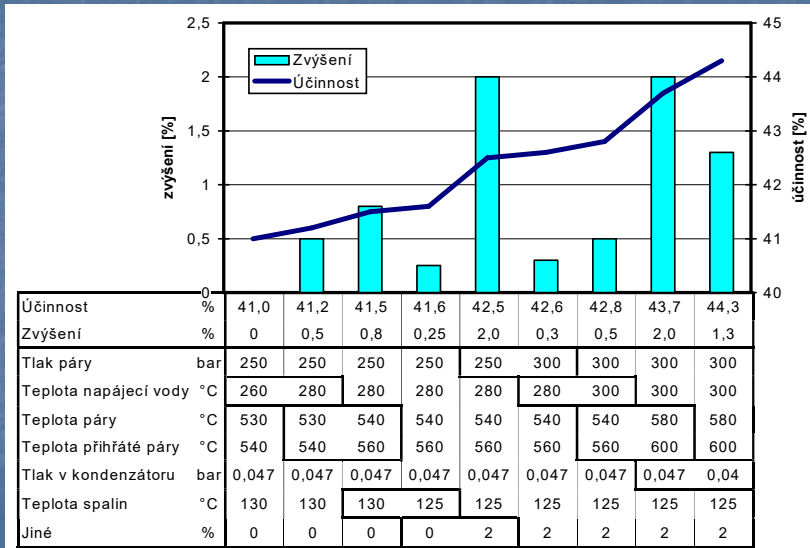


Klasické parní elektrárny

Pro zvyšování účinnosti se u tradiční osvědčené technologie parního oběhu používají všechna karnotizační opatření:

- intenzifikace parametrů
 - admisních - zvyšování tlaku a teploty
 - emisních - snižování protitlaku
- opakované přehřívání páry
- regenerační ohřev napájecí vody

Způsoby zlepšení účinnosti elektráren



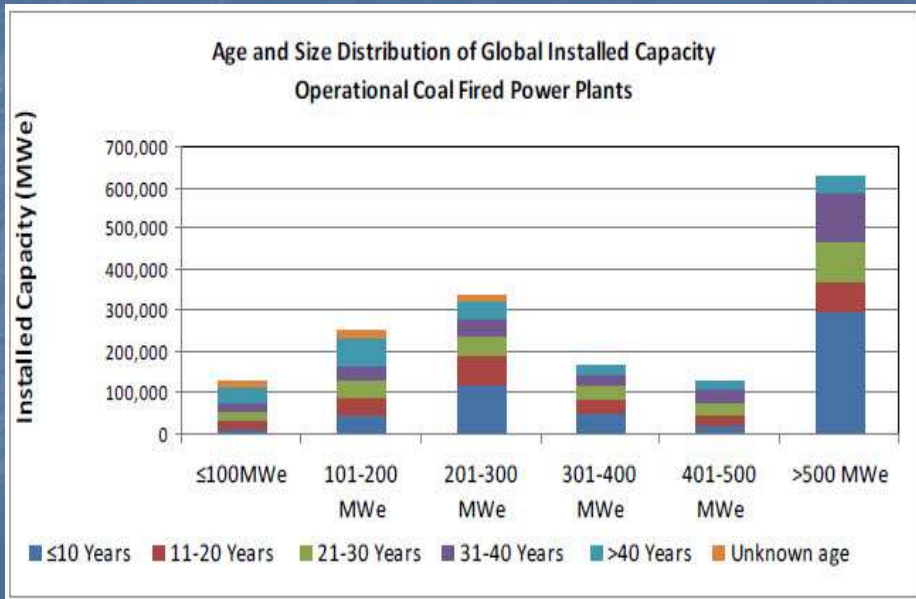
17

Parametry admisní páry

- **Standard** - starší podkritické i nadkritické bloky s průměrnou čistou účinností v Evropě $\eta_{netto}=0.38$.
- **Stávající špička** „Generace 600“ s tlakem kolem 30MPa, dvojnasobným mezipřehřátím a teplotami ostré páry i přehřátých par až do hodnot těsně nad 600°C. V závislosti na ostatních parametrech se čistá účinnost pochopitelně mění, ale dosaženy byly hodnoty až $\eta_{netto}=0.50$ - pro zemní plyn a 0.47 - pro uhli. (*Mezní parametry této generace jsou patrně 33MPa/610°C*)
- **Aktuální vývoj** „Generace 700“ (AD700 Project – 1998 - 2016) s tlakem do 35-37.5 MPa, maximálními teplotami páry 700-720°C a čistou účinností až $\eta_{netto}=0.54$.
- **Výhled** směřovaný na období po roce 2020 „Generace 800“ s maximální teplotou páry v oblasti 800°C a čistou účinností vyšší než $\eta_{netto}=0.55$.

18

Práškové spalování uhlí



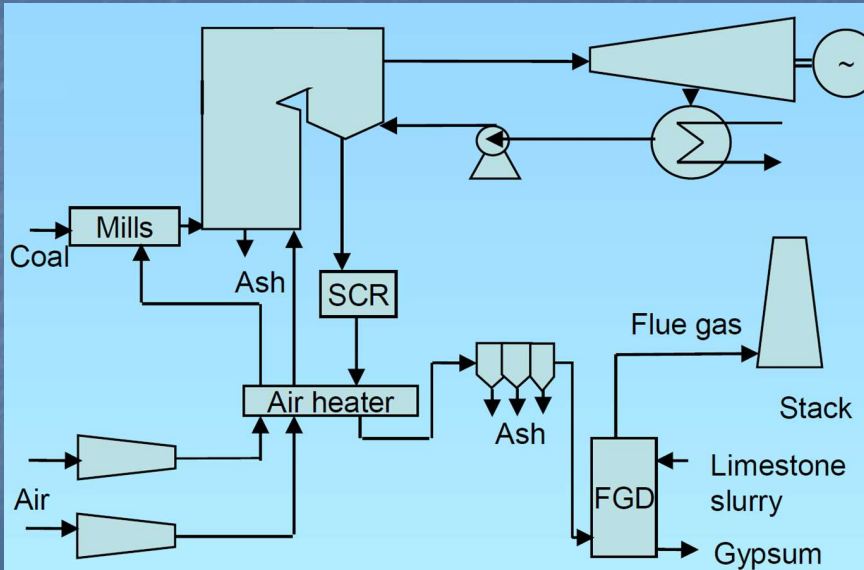
Práškové spalování uhlí

- instalovány stovky GWe, jednotky až ~ 1100 MW
- účinnost 43 – 48 % v nejlepších jednotkách
- klasické metody pro snižování emisí dobře zvládnuty

Výhled:

- bude stále nejrozšířenější uhelnou technologií
- vývoj pokročilých metod omezování emisí včetně suchých systémů
- extenzivní zlepšování účinnosti
- další zvýšení účinnosti
 - pokročilým sušením HU
 - přechodem na 35 MPa / 700 ° C páry ($\eta > 50 \%$)

Práškové spalování uhlí



21

Nejnovější realizace na HU

BoA 2&3 Neurath

do provozu 2013

palivo HU

čistý výkon 2x1050 MW

čistá účinnost > 43 %

kotel

věžový, průtočný

parní výkon 800 kg/s

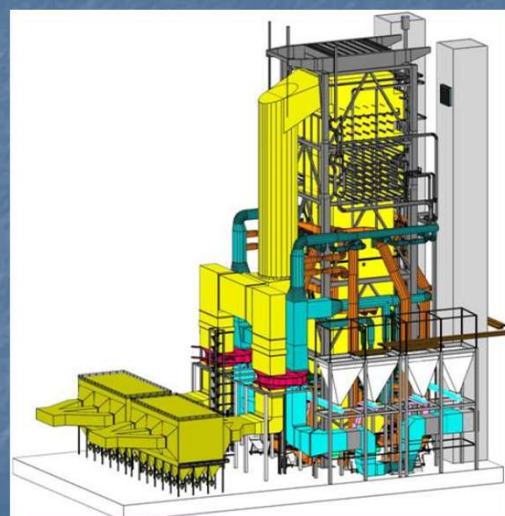
tepelný výkon 2392 MW

spotřeba uhlí 820 t/h

ostrá pára 272 bar/600°C

přihřátá pára 55 bar/605°C

hmotnost 51500 t



22

Nejlepší světové realizace

Pingshan 2, Čína

národní demonstrační projekt
do provozu 2022



palivo

ČU

čistý výkon

1350 MW

čistá účinnost

49,8 %

kotel

věžový, průtočný

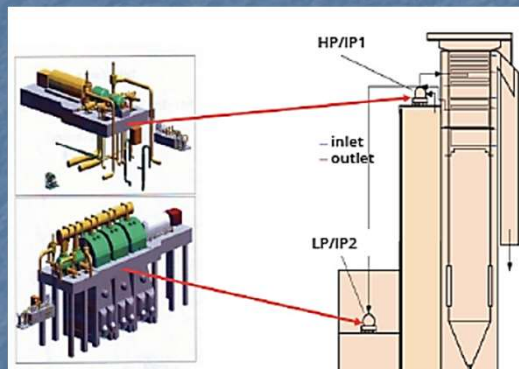
ostrá pára 325 bar/610°C

1. přihřívání

96,5 bar/630°C

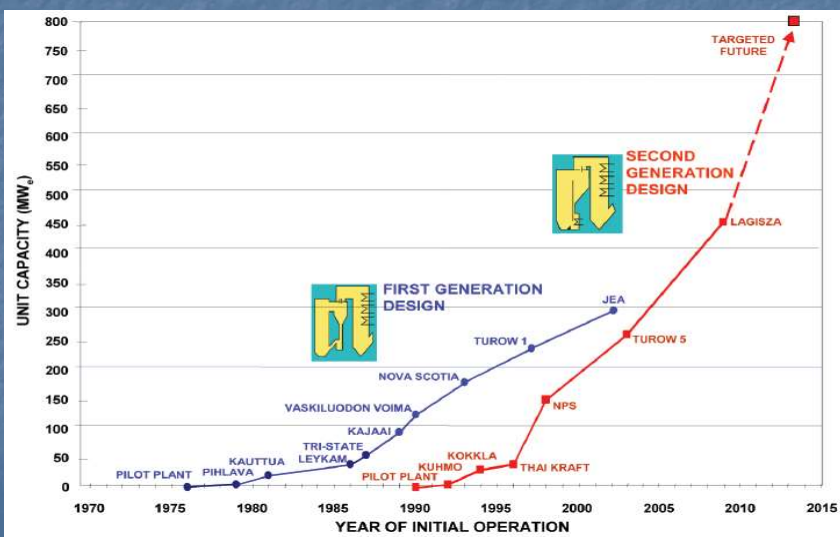
2. přihřívání

22,9 bar/623°C



23

Nejlepší světové reference fluidní kotle



24

Spalování uhlí v cirkulující fluidní vrstvě

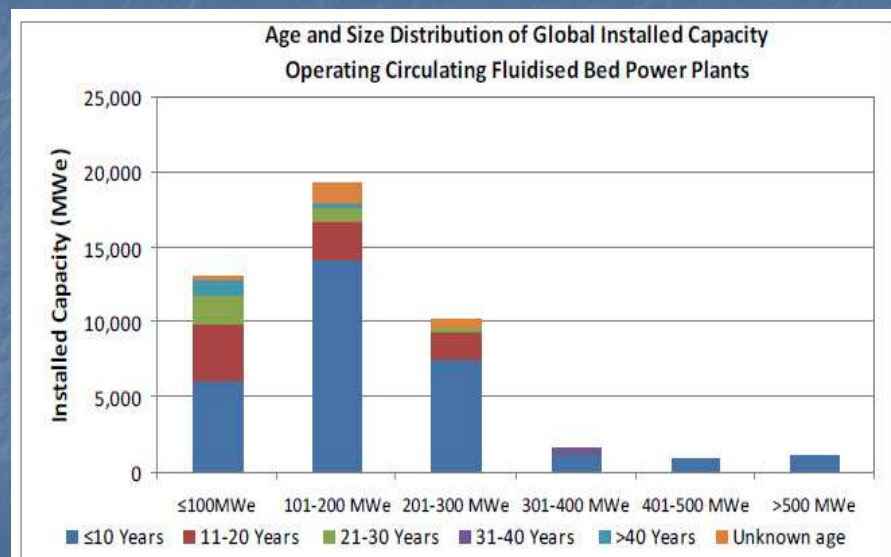
- instalovaný stovky jednotek – výkony ve stovkách MWe
- vhodné pro uhlí nízké kvality a jiná paliva
- klasické metody pro snižování emisí dobře zvládnuty
- výhodou nízké emise NO_x a možnost aditivního odsířování

Výhled:

- bude stále důležité pro méně kvalitní uhlí, **biomasu a odpady**
- rostoucí počet instalací v průmyslových zdrojích
- další zvýšení účinnosti – přechod na SC parametry

25

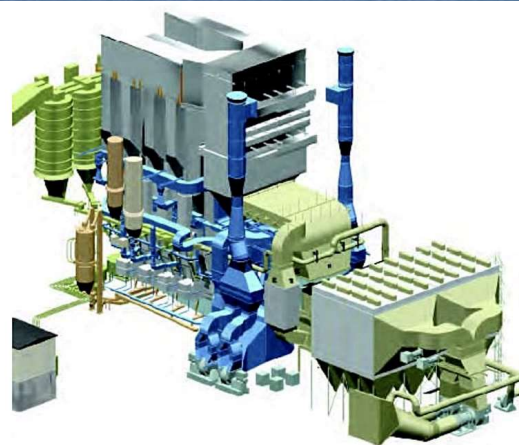
Spalování uhlí v cirkulující fluidní vrstvě



26

Nejlepší světové reference

Lagisza, Polsko 460 MWe



Instalovaný výkon 460 MWe

Parametry přehřáté páry

- průtok 360 kg/s
- teplota 560 °C
- tlak 27.5 MPa

Parametry přehřáté páry

- průtok 307 kg/s
- teplota 580 °C
- tlak 5.46 MPa

Účinnost (hrubá) ~ 43%

Uvedení do provozu 2007

27

Nejlepší světové reference

Baima, Čína 600 MWe

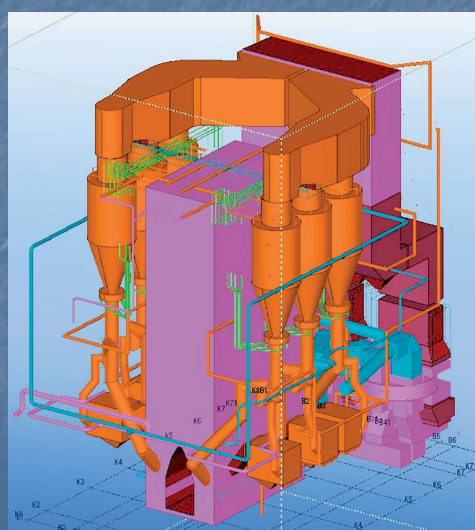


TABLE 1. Design parameters of the 600-MW_e SC CFB boiler

| Design Parameter | Units | Value |
|--|--------------------|-----------|
| Steam Output | tonnes/hr | 1900 |
| Main Steam Pressure | MPa | 25.4 |
| Main Steam Temperature | °C | 571 |
| Reheat Steam Flow Rate | tonnes/hr | 1553 |
| Inlet/Outlet Pressure of Reheated Steam | MPa (absolute) | 4.58/4.43 |
| Inlet/Outlet Temp. of Reheated Steam | °C | 317/569 |
| Feeding Water Temp. | °C | 284 |
| SO_x emission | mg/Nm ³ | <380 |
| NO_x emission | mg/Nm ³ | <200 |

28

Nejlepší světové reference

Samcheok, Jižní Korea 1000 MWe

do provozu 2017

palivo lignit

čistý výkon 2x1000 MW

čistá účinnost 42,4 %

kotel

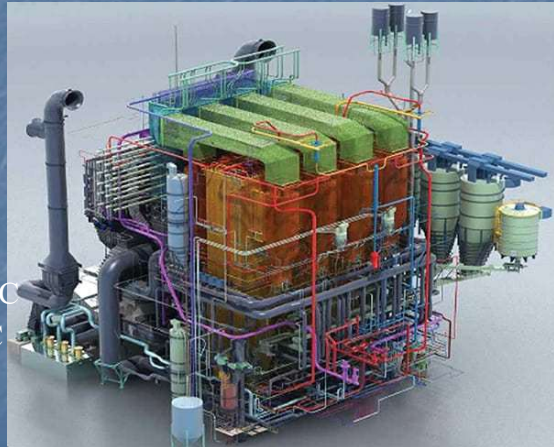
FW koncept, průtočný

parní výkon 436 kg/s

ostrá pára 257 bar/603°C

přihřátá pára 54 bar/603°C

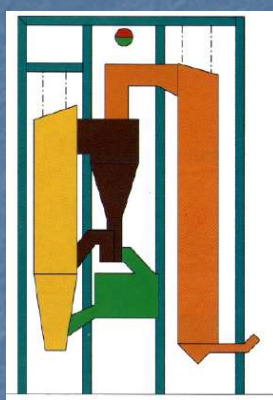
nap. voda 297 °C



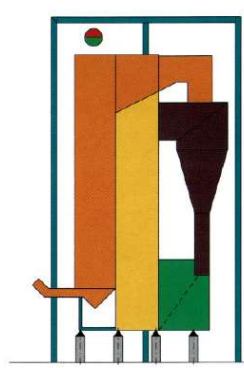
29

Vývojové trendy fluidních kotlů

vývoj kompaktního fluidního kotle (Lurgi)



Original CFB Design

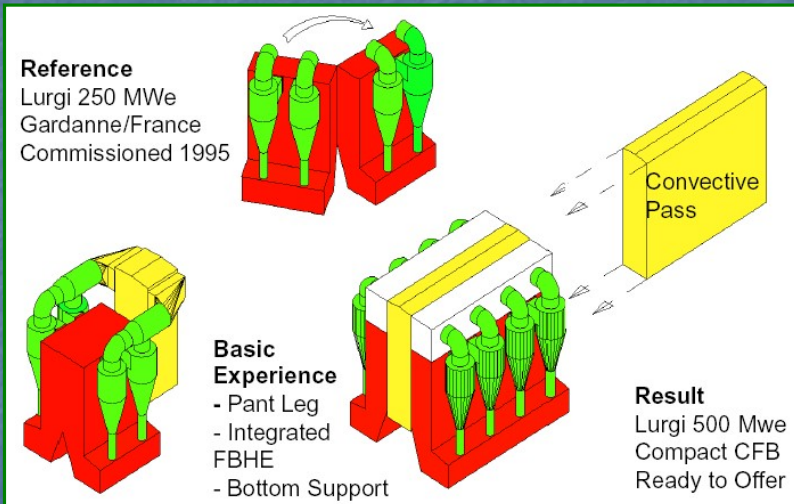


Bottom Supported Compact Design

- zaujímá 70% objemu klasického řešení
- pro výkony až 500 MWe

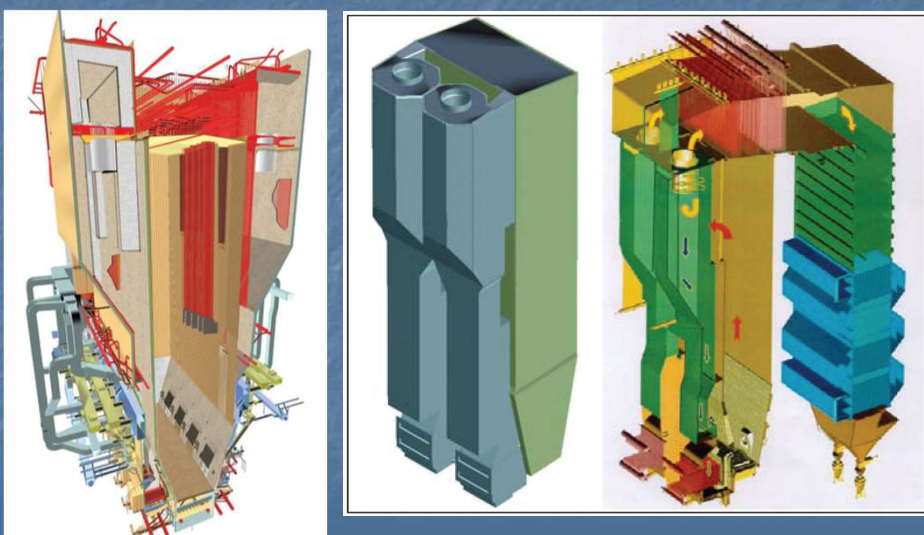
30

Vývojové trendy fluidních kotlů vývoj kompaktního fluidního kotle (Lurgi)



31

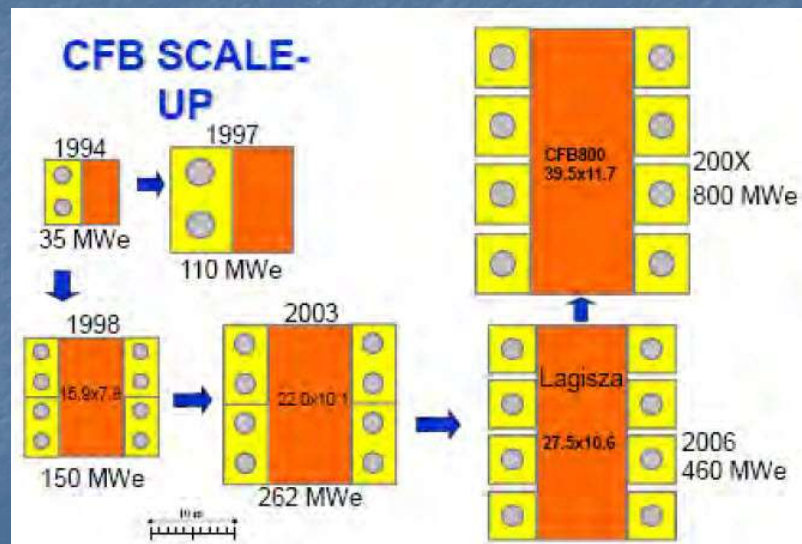
Vývojové trendy fluidních kotlů vývoj kompaktního fluidního kotle (Foster Wheeler)



32

Vývojové trendy fluidních kotlů

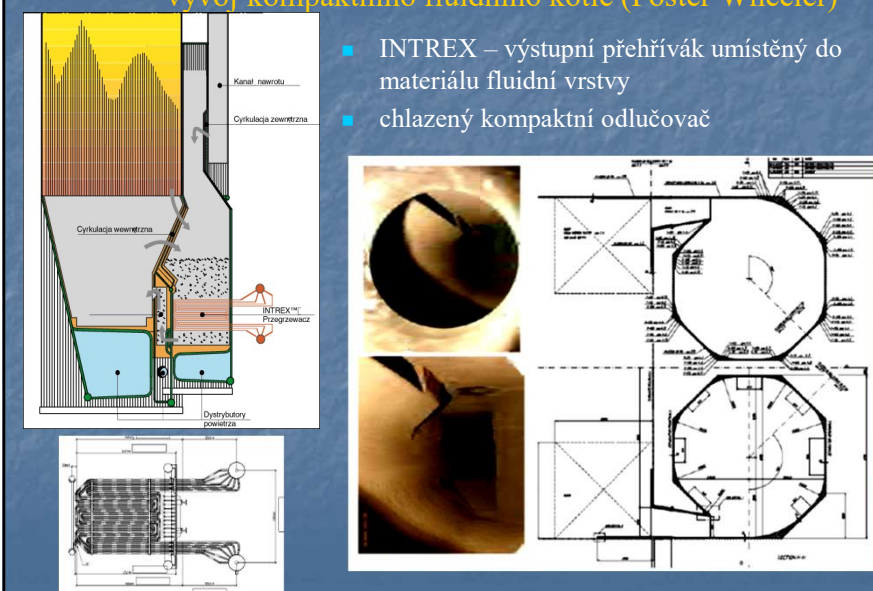
zvyšování kapacity kompaktních ohnišť



Vývojové trendy fluidních kotlů

vývoj kompaktního fluidního kotle (Foster Wheeler)

- INTREX – výstupní přehřívák umístěný do materiálu fluidní vrstvy
- chlazený kompaktní odlučovač



34

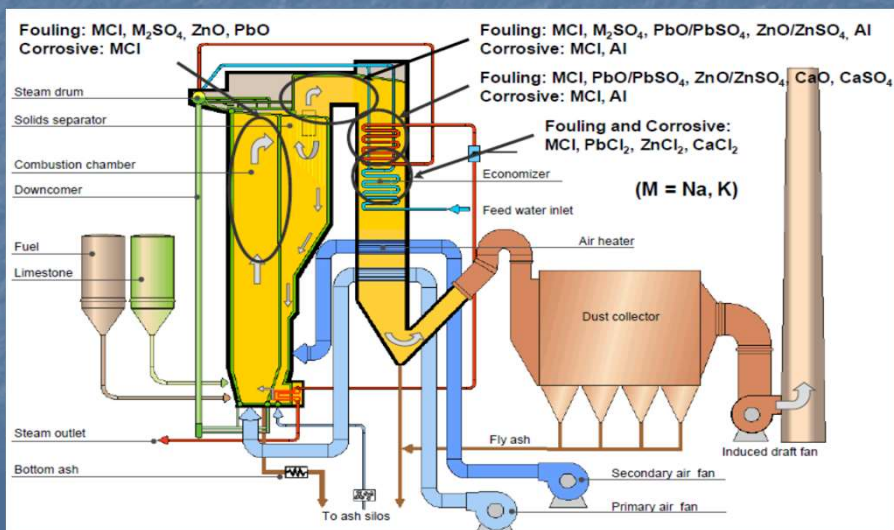
Vývojové trendy fluidních kotlů modifikované koncepce pro spalování biomasy a TAP

- problémy souvisejí s přítomností **chloru a alkalických příměsi** v palivu
- chlor je vázán
 - v TAP v plastech (PVC) a anorganických alkalických chloridech (NaCl , KCl , CaCl_2)
 - v agrární biomase (slámě) zejména ve formě KCl původem z umělých hnojiv
- chloridy alkalických kovů se během spalování odpaří, pak kondenzují v oblasti teplot 650 až 800 °C na povrchu přehříváků – tím vznikají rychle rostoucí nánosy
- chlor v kotli způsobuje vysokoteplotní chlorovou korozí
 - v oblasti spalovací komory – do procesu se zapojují roztavené soli alkalických chloridů a síranů - vznikají reakcemi mezi plynnými produkty spalování SO_2 a SO_3 s oxidy Na_2O a K_2O
 - v oblasti přehříváků – pod povrchem alkalických nánosů vzniká cyklický korozní mechanismus s FeCl_3
- při spalování paliv se zvýšeným podílem Cl je třeba aplikovat opatření pro snížení rizika chlorové koruze a zanášení kotle
- spalování dřevní štěpky, která chlor neobsahuje, nevyžaduje specifické úpravy spalovacího zařízení a tlakového celku fluidního kotle

35

Vývojové trendy fluidních kotlů modifikované koncepce pro spalování biomasy a TAP

Výskyt usazenin a korozně agresivních látek v kotli při spalování biomasy a odpadu



Vývojové trendy fluidních kotlů modifikované koncepce pro spalování biomasy a TAP

Opatření, která by mohla působení negativní působení Cl na kotel omezit, lze rozdělit do tří kategorií:

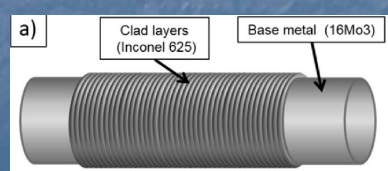
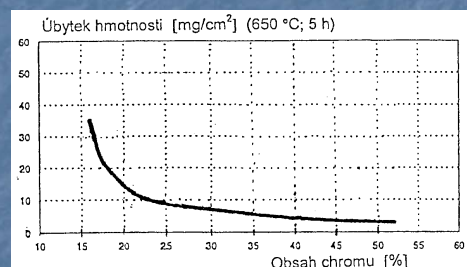
- konstrukční
 - výběr vhodného materiálu, který by méně trpěl korozním napadením
 - opatření materiálu antikorozní povrchovou ochranou – keramika, clading
- projekční – jedná se o umístění přehříváků do oblasti s nižší teplotou spalin
 - za spalovací komoru zařadit alespoň jeden volný tah pro dochlazení spalin pod 700 °C
 - výstupní přehřívák umístit do materiálu fluidního lože,
- provozní – použitím různých aditiv převážně na bázi síranů nebo fosforečnanů, které dokáží nežádoucí látky vázat

37

Vývojové trendy fluidních kotlů modifikované koncepce pro spalování biomasy a TAP

Použití vhodné oceli

- běžně užívané oceli třídy 12 a 15 nemají dostatečnou odolnost proti chlorové korozi
- korozní odolnost lze zvýšit legováním chromem nad 15 % = užití austenitů
- ve vysoce exponovaných místech lze provést povrchový návar (cladding) materiálem Inconel 625 na bázi 58 % Ni a 23 % Cr



38

Vývojové trendy fluidních kotlů modifikované koncepce pro spalování biomasy a TAP

Komplexní projekční řešení - kotel elektrárny Soderenergi, Igelsta - Švédsko

- parní výkon 330 t/h
- teplota páry 540 °C
- tlak páry 90 bar
- palivo štěpka 75 %, TAP 25 % Cl^d = 0,12 %, N^d = 0,6 %, S^r = 0,05 %,
- elektrický výkon 85 MWel
- tepelný výkon 240 MW

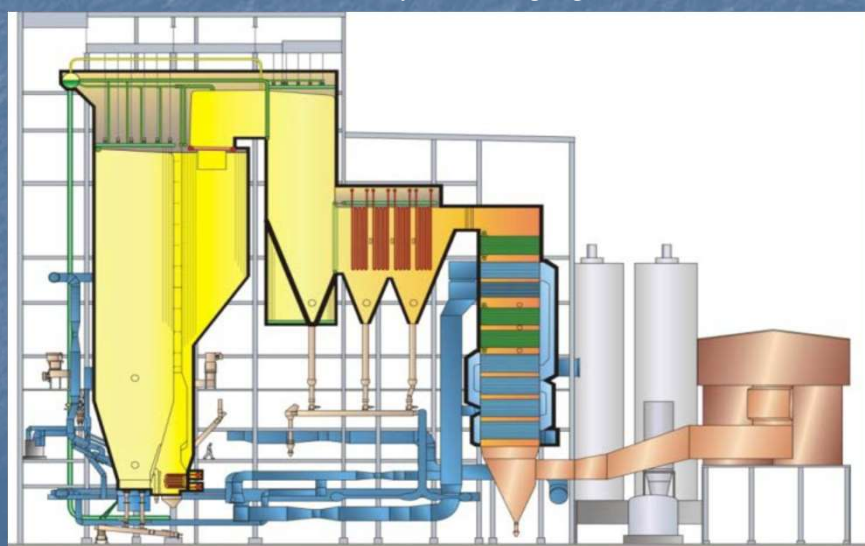
Aby nedošlo k zanášení a korozii, kotel má:

- koncový přehřívák umístěný v recirkulovaném fluidizačním materiálu
- prázdný tah pro prodloužení doby zdržení spalin, aby se ochladily a vyčistily před vstupem do konvektivních přehříváků
- vodní ostřikovače na bocích prázdného tahu pro čištění jeho stěn a pružinová kladiva pro oklepávání usazenin z konvektivních přehříváků
- dávkování sírových granulí pro zvýšení teploty tavení popílků
- závěsné austenitické přehříváky, které lze snadno vyměnit střechou

39

Vývojové trendy fluidních kotlů modifikované koncepce pro spalování biomasy a TAP

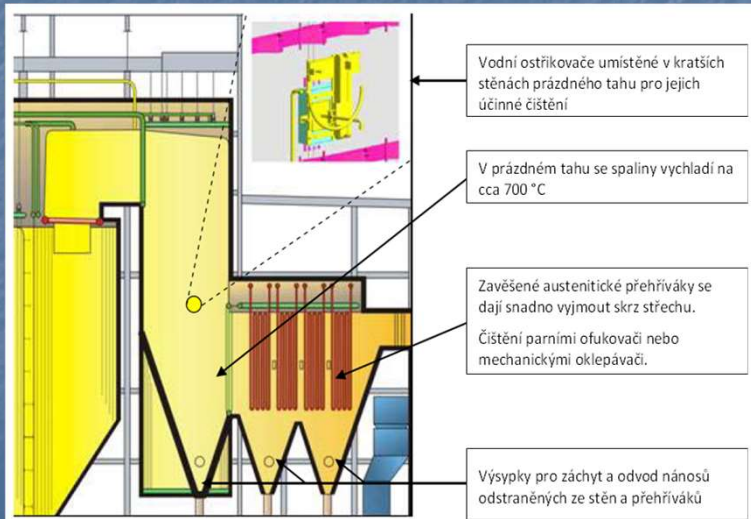
kotel elektrárny Soderenergi, Igelsta



Vývojové trendy fluidních kotlů

modifikované koncepce pro spalování biomasy a TAP

opatření aplikovaná pro omezení zanášení a koroze výhrevných ploch

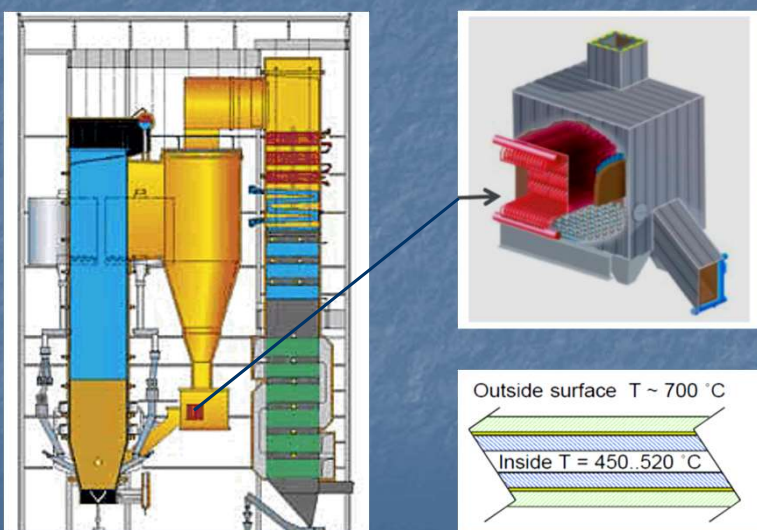


41

Vývojové trendy fluidních kotlů

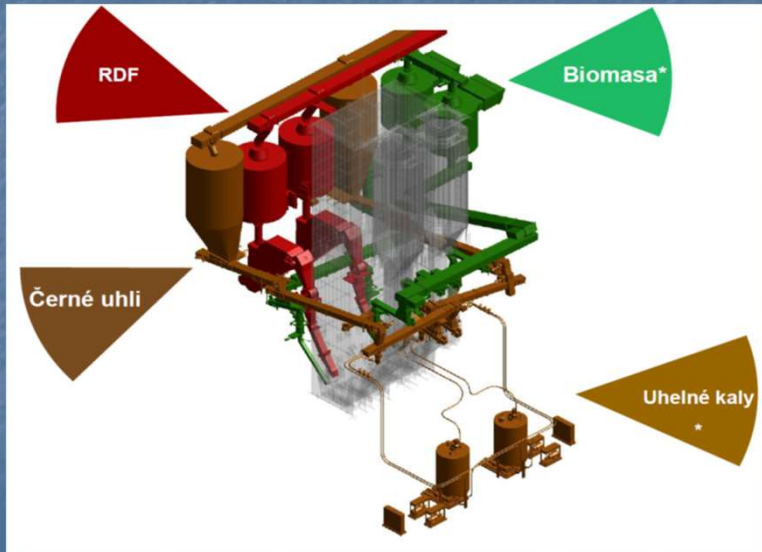
modifikované koncepce pro spalování biomasy a TAP

výstupní přehřívák umístěný do recirkulovaného materiálu fluidního lože



42

Vývojové trendy fluidních kotlů zvládnutí multipalivového programu - CFB kotel Zabrze (Polsko)



43

Materiály pro superkritické parametry páry Ocel P91 (17 119)

- dnes standardní konstrukční materiál
- připouští parametry páry 27 MPa, 580/600 °C.
- feriticko martenzitická ocel na bázi 0,1C 9Cr 1Mo V Nb N,

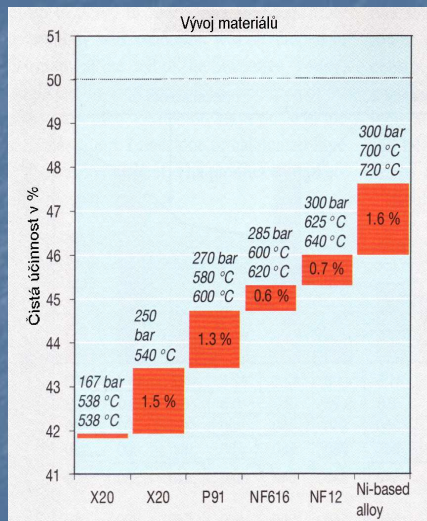
Základní vlastnosti oceli P91 lze shrnout následovně:

- vysoká žárupevnost a plasticita při creepu
- zvýšená korozní odolnost v prostředí vodíku, vodní páry a zplodin hoření
- vysoká tepelná vodivost
- nízká teplotní roztažnost
- dobré technologické vlastnosti vč. svařitelnosti
- nízká cena

44

Materiály pro superkritické parametry páry

- Dalšího zvýšení žárupevnosti bylo dosaženo
- přidáním W:
 - japonské materiály označované jako NF616
 - evropským ekvivalentem je E911
 - legovaním Co, který brání zachování delta-feritu v mikrostrukturě
 - NF12 (~12%Cr, ~2.5%W a ~2.5%Co)
 - pro parametry 30 MPa, 625/640°C.
 - vývoj superslitin na bázi niklu, které by umožnily docílit podstatně vyšších parametrů páry (720 °C a více než 30 MPa).



45

Nové materiály pro vysoké parametry páry

| Prvek | P 91 | E911 | NF616 | HCM12A | TB 12M |
|--|-------------|-------------|-------------|-------------|--------------|
| C | 0.08-0.12 | 0.10-0.13 | 0.07-0.13 | 0.07-0.14 | 0.10-0.15 |
| Mn | 0.30-0.60 | 0.30-0.60 | 0.30-0.60 | ≤0.70 | 0.40-0.60 |
| Si | 0.20-0.50 | 0.10-0.30 | ≤0.50 | ≤0.50 | 0.50 max |
| S | 0.010 max | 0.010 max | 0.010 max | ≤0.010 | 0.010 max |
| P | 0.020 max | 0.020 max | ≤0.020 | ≤0.020 | 0.020 max |
| Cr | 8.00-9.50 | 8.50-9.50 | 8.50-9.50 | 10.00-12.50 | 11.0-11.30 |
| Mo | 0.85-1.05 | 0.90-1.10 | 0.30-0.60 | 0.25-0.60 | 0.40-0.60 |
| W | - | 0.90-1.10 | 1.50-2.00 | 1.50-2.50 | 1.60-1.90 |
| Ni | 0.40 max | 0.20-0.40 | ≤0.40 | ≤0.50 | 0.70-1.0 |
| Cu | - | - | - | 0.30-1.70 | - |
| V | 0.18-0.25 | 0.15-0.25 | 0.15-0.25 | 0.15-0.30 | 0.15-0.25 |
| Nb | 0.06-0.10 | 0.06-0.10 | 0.04-0.09 | 0.09-0.10 | 0.04-0.09 |
| N | 0.030-0.070 | 0.050-0.080 | 0.030-0.070 | 0.040-0.100 | 0.04-0.09 |
| Al | 0.04 max | - | ≤0.040 | ≤0.040 | 0.010 max |
| B | - | - | 0.001-0.006 | ≤0.005 | - |
| Sn | - | - | - | - | 0.010 max |
| As | - | - | - | - | 0.010 max |
| Sb | - | - | - | - | 0.005 max |
| Mez pevnosti v tečení pro 10 ⁵ hod. | 600° | 94 | (115) | (115) | (115) (150*) |

46

Složení materiálů na bázi Ni

| Element | Ni | Cr | Co | Mo | Other |
|----------|------|------|----|-----|-------|
| Material | | | | | |
| 625 | 63,5 | 21,5 | 0 | 9 | 6 |
| 617 | 52 | 22 | 12 | 9,5 | 4,5 |
| C263 | 51 | 20 | 20 | 6 | 3 |
| 740 | 50 | 24 | 20 | 0 | 6 |

47

Oceli T23 a T24

- vyvinuty pro konstrukci membránových stěn výparníku superkritických kotlů
- představují nástupce parametricky již nevyhovující oceli T22 (10CrMo9-10), ze které vycházejí, a byly dolegovány
 - japonská T23 wolframem,
 - německá T24 titanem
- obsahují jako legující prvek vanad, který tvoří stabilní karbidy či karbonitridy o velice jemné disperzii
- do hry vstupují intersticiální prvky bor a dusík, které mají rovněž prokazaný příznivý vliv na zvýšení žáropevnosti oceli

| Material | C | Cr | Mo | W | Ti | Co | Others |
|-----------------------------|-------------|-----------|-------------|-------------|-------------|----|-------------|
| 2 - 2.5 % Cr-steels: | | | | | | | |
| T23 | 0.04 - 0.10 | 1.9 - 2.6 | 0.05 - 0.30 | 1.45 - 1.75 | - | - | V, Nb, N, B |
| T24 | 0.05 - 0.10 | 2.2 - 2.6 | 0.9 - 1.1 | - | 0.05 - 0.10 | - | V, N, B |

- hlavní očekávaná přednost – lepší svařitelnost bez předehřevu, svary není třeba po povedení popouštět
- očekávání se nepotvrdila – svary po určité době při dosažení pracovní teploty vykazovaly nárůst tvrdosti a ztrátu pevnosti - praskají

48

E On's 50% efficient plant

- účinnost +50% s užitím niklových slitin na trubky přehříváku pro teplotu 700 °C
- místo: Wilhelmshaven
- výkon: 500MWe

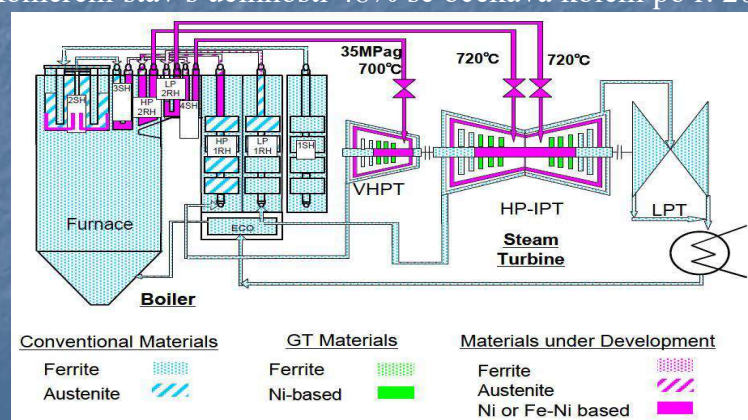
v r. 2010 projekt
ukončen kvůli vysoké
ceně a problémům se
svařováním a tepelné
úpravě po svařování



49

USC technologie v Japonsku

- METI Cool Earth zahájila USC program v roce 2008 vývojem a vyhodnocením materiálů pro komponenty kotle a turbín
- komerční stav s účinností 48% se očekává kolem po r. 2020



50

USC technologie v Číně

■ parametry Pingshan II a budoucí technologie

| Fuel Specifications | Design Condition | | Annual Average Load Rate at 80% | |
|--|--|---|--|---|
| | Elevated T-G unit with 600 °C (1112 °F) Main Steam Temp. | Future Elevated T-G unit with 700 °C (1292 °F) Main Steam Temp. | Elevated T-G unit with 600 °C (1112 °F) Main Steam Temp. | Future Elevated T-G unit with 700 °C (1292 °F) Main Steam Temp. |
| Annual Average Coal Consumption Rate | 246.7 g/kWh (0.54 lb/kWh) | 231.8 g/kWh (0.51 lb/kWh) | 251.7 g/kWh (0.55 lb/kWh) | 236.2 g/kWh (0.52 lb/kWh) |
| Annual Average Net Efficiency, LHV | 49.8% | 53.0% | 48.8% | 52.0% |
| Heat Rate | 6,897 kJ/kWh (6,537 Btu/kWh) | 6,621 kJ/kWh (6,275 Btu/kWh) | 7,377 kJ/kWh (6,992 Btu/kWh) | 6,923 kJ/kWh (6,562 Btu/kWh) |
| Annual Average CO₂ Emissions (Gross) | 622.7 g/kWh (1.37 lb/kWh) | 588.2 g/kWh (1.30 lb/kWh) | 635.4 g/kWh (1.40 lb/kWh) | 599.5 g/kWh (1.32 lb/kWh) |
| Annual Average CO₂ Emissions (Net) | 666.0 g/kWh (1.47 lb/kWh) | 625.7 g/kWh (1.38 lb/kWh) | 679.6 g/kWh (1.50 lb/kWh) | 637.8 g/kWh (1.41 lb/kWh) |

51